

I - 29 アンケル接合部の接りによる弾性変形(不完全剛結特性)

九州大学工学部 正員 山崎徳也
日本国有鉄道 正員 ○ 摂木武

Ⅰ 緒言 本研究は既往の著者に引続き更にアンケル接合部に接りモーメントが作用する場合の弾性変形を理論的に求めるものである。不完全剛結性を考慮した立体ラーメン或いは接りを受ける格子桁合成桁等に適合し得るものとして、本理論と全く同様の考え方を用ひる荷重状態におけるアンケル接合部の理論的解折が可能となる。尚こゝでは直交アンケル接合部について記述する。

Ⅱ 解法 接合部の解折にあたってはその変形機構より次の2つに分ける。

- ハリと柱との間にクリアランスがない場合、たゞクリアランスがある結合アンケルがハリ下端以下にある場合
- ハリと柱との間にクリアランスがある場合、たゞ前項の余り例を含む。(図-I-1 参照)
- 接合部はハリ下端の左端或いは右端奥を序ひて回転し、接りモーメントが太廻りに作用する時左端奥、右廻りに作用する時右端奥が回転中心となる。ii)では結合アンケルのうち最下端のアンケル上に回転中心が存在し腹筋アンケルまたは隅角部の最下端奥、シートアンケルでは隅角部の左右支端奥(左右いずれに立ちかけない)と同一にすると仮定する。したがつてこのアンケルは便宜上弹性支承(アンケル柔軟性)と他の一般アンケルと区別する。図-I-1の如くハリの自由度に直角、垂直直角軸を斜め面に直交して2軸をもつ任意の直交座標を導入し、接合部はシート・アンケル(1=1, 2, ..., l), 腹筋アンケル(l+1, 2, ..., l)により構成されるものとする。これらの機構に従う接りモーメント M_{ij} により、接り回転角を生じた時の変形状態(図-II-2)を考察すれば、各アンケルに働く諸力は X_i, Y_i, Z_i の3力と M_{xi}, M_{yi}, M_{zi} の3モーメントである。これらと並向のものがハリに働く。これらにクリアランスがない場合には柱からの拘束力 R_x, R_y, R_z を回転中心で受ける。以上ハリの接合部に働く力モーメントが明らかとなるゆえ、これらに因る幾何学的変形とエネルギー法により算出される変位と等価す事により、一連の条件式を得る。よるこれら諸式を建立し解折が完了する。上記演算を示す次頁面に譲る。

i)の場合: ハリに寄する拘束条件式は次の如くである。

$$\begin{aligned} \sum X_i + \frac{1}{R_x} X_i - R_x = 0, & \quad \sum Y_i + \frac{1}{R_y} Y_i + R_y = 0, & \quad \sum Z_i + \frac{1}{R_z} Z_i - R_z = 0, \\ \sum Z_i X_i - \sum Y_i Z_i + \sum M_{xi} + \frac{1}{R_x} Z_i - \frac{1}{R_y} Y_i + \frac{1}{R_z} M_{xi} - R_x Y_i - R_y Z_i = 0, \\ \sum Z_i Y_i + \sum X_i Z_i - \sum M_{yi} + \frac{1}{R_x} Y_i + \frac{1}{R_y} Z_i - \frac{1}{R_z} M_{yi} - R_x X_i - R_y Z_i = 0 \\ \sum Z_i Y_i X_i + \sum X_i Y_i + \sum M_{zi} + \frac{1}{R_x} Y_i X_i + \frac{1}{R_y} Z_i X_i + \frac{1}{R_z} M_{zi} - R_x Y_i + R_y X_i = 0 \end{aligned} \quad \text{--- (1)}$$

接合部の変形機構を考察するに2軸を中心の接り回転角中と同時に3軸回転角の回転角 θ_x, θ_y が同時に発生する事から、その回転順序が問題となるが本論文の如き後方回転の問題とは近似的に回転順序に關係なくある一定の値を表す。これが時幾何的条件式は次の通りである。

$$\begin{aligned} \delta x_i = -\theta_y (z_i - z_0) + \phi (y_i - y_0), & \quad \delta y_i = \phi (x_i - x_0) - \theta_x (z_i - z_0), & \quad \delta z_i = \theta_x (y_i - y_0) - \theta_y (x_i - x_0) \\ \delta x_i = -\theta_y (z_i - z_0) + \phi (y_i - y_0), & \quad \delta y_i = \phi (x_i - x_0) - \theta_x (z_i - z_0), & \quad \delta z_i = \theta_x (y_i - y_0) - \theta_y (x_i - x_0) \\ \varphi_{xi} = \varphi_{yi} = \theta_x, & \quad \varphi_{xi} = \varphi_{yi} = \phi, & \quad (\text{但し } i=1, 2, \dots, n, j=1, 2, \dots, l) \end{aligned} \quad \text{--- (2)}$$

他方複数の直交する柱の間の接合部におけるアンケルのエネルギーを求めるには(1) plate AA'C'A' 接りによるエネルギー、(2) plate BB'C'C' の接りによるエネルギー、(3) アンケルを片持梁と見做す時の水平面内の曲げモーメントによるエネルギー、の3種類があり。したがつて力モーメントの関係は次の様になる。

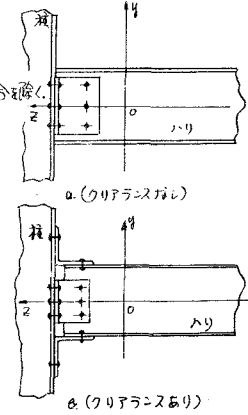


図-I-1.

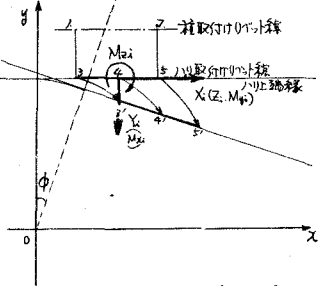


図-II-2 アンケル(上様)の幾何学的変形。

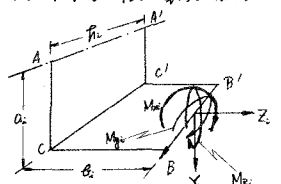


図-III-3 T-トアンケルに働く
諸力と寸法

(a) 上縁アーチル: エネルギーW_iは次の通りである。(図-3参照)

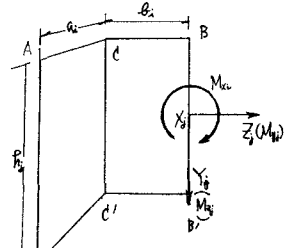
$$\begin{aligned} W_i &= \frac{\partial}{\partial K} (M_{y1} + Y_1 B_1)^2 + \frac{\partial}{\partial B_1} [M_{y1}^2 (A_1 + B_1) + M_{y2} Y_1 B_1 (2A_1 + B_1) + Y_1^2 \frac{B_1^3}{3} (3A_1 + B_1) + Z_1^2 \frac{A_1^3}{3} - Z_1 (M_{y1} + Y_1 B_1) A_1^2] \\ &\quad + \frac{1}{Z_1 D_1} \left(\frac{L_1}{2} \right)^2 \left[M_{y1}^2 \frac{B_1^3}{3} (3A_1 + B_1) - M_{y2} M_{y1} A_1^2 B_1 + M_{y1}^2 \frac{A_1^3}{3} \right] \quad \text{F. } i, \quad B_1 = E \frac{R_1^2}{12}, \quad D_1 = \frac{R_1^2}{12}, \quad L_1 = \frac{R_1^2}{12} \end{aligned} \quad (3)$$

$$\begin{aligned} \text{i. T. g. 2 Castigliano の定理 f. } \quad \delta_{y1} &= \frac{A_1 B_1}{G K} (M_{y1} + Y_1 B_1) \quad \delta_{y2} = \frac{1}{Z_1 D_1} [M_{y1} (2A_1 + B_1) + 2Y_1 \frac{B_1^2}{3} (3A_1 + B_1) - Z_1 A_1^2 B_1] \\ \delta_{z1} &= \frac{1}{Z_1 Z_2} \left[\frac{B_1^3}{3} (M_{y1} + Y_1 B_1) A_1^2 \right], \quad \varphi_{y1} = \frac{1}{Z_1 D_1} [2M_{y1} (A_1 + B_1) + Y_1 B_1 (2A_1 + B_1) - Z_1 A_1^2] \\ \varphi_{y2} &= \frac{A_1}{G K} (M_{y1} + Y_1 B_1) + \frac{1}{D_1} \left(\frac{L_1}{2} \right)^2 [M_{y1} \frac{B_1^3}{3} - \frac{1}{2} M_{y1} A_1^2 B_1] \quad \varphi_{z1} = \frac{L_1}{Z_1 D_1} \left(\frac{B_1^3}{3} (M_{y1} + Y_1 B_1) - \frac{1}{2} M_{y1} A_1^2 B_1 \right) \end{aligned} \quad (4)$$

(b) 腹筋アーチル: エネルギーW_iは次の通りである。(図-4参照)

$$\begin{aligned} W_i &= \frac{\partial}{\partial K} (M_{y1} + Y_1 B_1)^2 + \frac{\partial}{\partial B_1} [M_{y1}^2 + \frac{1}{Z_1 D_1} [M_{y1}^2 (A_1 + B_1) + M_{y2} Y_1 B_1 (2A_1 + B_1) + Y_1^2 \frac{B_1^3}{3} (3A_1 + B_1) + Z_1^2 \frac{A_1^3}{3} \\ &\quad + Z_2 (M_{y1} + Y_1 B_1) A_1^2] + \frac{1}{D_1} \left(\frac{L_1}{2} \right)^2 \left[M_{y1}^2 \frac{B_1^3}{3} (3A_1 + B_1) + M_{y2} M_{y1} A_1^2 B_1 + M_{y1}^2 \frac{A_1^3}{3} \right]] \end{aligned} \quad (5)$$

$$\begin{aligned} \text{i. T. g. 2 } \quad \delta_{y1} &= \frac{1}{Z_1} [M_{y1} B_1 (2A_1 + B_1) + 2Y_1 \frac{B_1^2}{3} (3A_1 + B_1) + Z_1 A_1^2 B_1], \quad \delta_{y2} = \frac{A_1 B_1}{G K} (M_{y1} + Y_1 B_1) \\ \delta_{z1} &= \frac{1}{Z_1 Z_2} \left[\frac{B_1^3}{3} (M_{y1} + Y_1 B_1) A_1^2 \right], \quad \varphi_{y1} = \frac{A_1}{G K} (M_{y1} + Y_1 B_1) + \frac{1}{D_1} \left(\frac{L_1}{2} \right)^2 \left(M_{y1} \frac{B_1^3}{3} + \frac{1}{2} M_{y1} A_1^2 B_1 \right) \\ \varphi_{y2} &= \frac{1}{Z_1} \left\{ 2M_{y1} (A_1 + B_1) + Y_1 B_1 (2A_1 + B_1) + Z_1 A_1^2 \right\}, \quad \varphi_{z1} = \frac{A_1}{Z_1 D_1} \left(\frac{B_1^3}{3} (M_{y1} + Y_1 B_1) + \frac{1}{2} M_{y1} A_1^2 B_1 \right) \end{aligned} \quad (6)$$



以上(4),(6)式(E式)式に代入すれば、直方程を解か得る。ただし(4)式と(6)式は独立に解けばよい。

ii) の場合: ハリは直接柱が反力を受け止め、ハリに寄する釣合条件より、おなじ R₂ = R₃ = R₄ = 0 とすればよい。A' 図-4 腹筋アーチル: 動的諸力の方法。またアーチルの直角: 奥付の幾何学的条件は弹性性直角アーチルの x, y, z 方向の直角で、 δ_{xy} , δ_{yz} , δ_{zx} で表す。直角: δ_{xy} , δ_{yz} , δ_{zx} は次式で表す。

$$\begin{aligned} \delta_{xy} &= -\Theta_y (Z_1 - Z_2) + \Phi (Y_1 - Y_2) + \delta_{xy}, & \delta_{yz} &= \Phi (A_1 - X_2) - \Theta_x (Z_1 - Z_2) + \delta_{yz}, & \delta_{zx} &= \Theta_x (Y_1 - Y_2) - \Theta_y (X_1 - X_2) + \delta_{zx}, \\ \delta_{xy} &= -\Theta_y (Z_1 - Z_2) + \Phi (Y_1 - Y_2) + \delta_{xy}, & \delta_{yz} &= \Phi (Z_1 - X_2) - \Theta_x (Z_1 - Z_2) + \delta_{yz}, & \delta_{xy} &= \Theta_x (Y_1 - Y_2) - \Theta_y (X_1 - X_2) + \delta_{xy}, \\ \varphi_{xz} &= \varphi_{xy} = \Theta_x, \quad \varphi_{yz} = \varphi_{xy} = \Theta_y, \quad \varphi_{xz} = \varphi_{yz} = \Phi \quad (\text{ただし: } i = 1, 2, \dots, n, \quad j = 1, 2, \dots, l) \end{aligned} \quad (7)$$

一般のアーチル: におけるカーモントと直角の関係は(4),(6)式のうちの z 方向直角アーチルの直角: δ_{xy} , δ_{yz} , δ_{zx}

(a) 下端縁アーチルの場合は: エネルギー算出の方法は i) の場合と全く同様で、岸に直角: にかかる反力が加わる事のみ異なる。尚反力の作用点の変位ゼロである事より反力アーチル: に働く他の諸力との関係がわかる。以上より結果は次式で表す。

$$\begin{aligned} \delta_{xb} &= \frac{A_1 B_1}{G K} (M_{yb} + Y_b B_b - R_2 \frac{B_1}{2}), \quad \delta_{y1} = \frac{1}{Z_1 D_1} [M_{yb} B_b (2A_b + B_b) + Z_1^2 \frac{B_1^3}{3} (3A_b + B_b) + (Z_1 + R_2) A_1^2 B_b] \\ \delta_{zb} &= \frac{1}{Z_1 B_b} [Z_1 (Z_1 + R_2) \frac{B_1^3}{3} + (M_{yb} + Y_b B_b) A_1^2], \quad \varphi_{zb} = \frac{1}{Z_1 D_1} [2M_{yb} B_b (A_b + B_b) + Y_b B_b (2A_b + B_b) + Z_1^2 \frac{A_1^3}{3} (Z_1 + R_2)] \\ \varphi_{yb} &= \frac{A_1}{G K} (M_{yb} + Y_b B_b - R_2 \frac{B_1}{2}) + \frac{1}{D_1} \left(\frac{L_1}{2} \right)^2 \left[M_{yb} \frac{B_1^3}{3} + \frac{1}{2} M_{yb} A_1^2 B_b \right], \quad \varphi_{zb} = \frac{B_1}{G K} M_{yb} + \frac{1}{D_1} \left(\frac{L_1}{2} \right)^2 \left[M_{yb} \frac{B_1^3}{3} (3A_b + B_b) - \frac{1}{2} (M_{yb} R_2 \frac{B_1}{2}) A_1^2 B_b \right] \\ \text{ただし } \delta_{xz} = 0, \quad R_2 &= \frac{\left(\frac{A_1 B_1}{G K} + \frac{A_1^2 B_1}{D_1} \frac{1}{2} \left(\frac{L_1}{2} \right)^2 \right) M_{yb} - \frac{B_1}{D_1} \frac{A_1^2 B_1}{2} \frac{1}{2} \left(\frac{L_1}{2} \right)^2 M_{yb} + \frac{A_1 B_1}{G K} Y_b - \frac{A_1^2 B_1}{D_1} \frac{1}{2} \left(\frac{L_1}{2} \right)^2 (M_{yb} + Y_b B_b)}{\frac{A_1 B_1}{G K} + \frac{A_1^2 B_1}{D_1} \frac{1}{2} \left(\frac{L_1}{2} \right)^2} \end{aligned} \quad (8)$$

(b) 下端縁アーチルの場合は: 結果を記せば次の通りである。

$$\begin{aligned} \delta_{xb} &= \frac{1}{Z_1} [M_{yb} B_b (2A_b + B_b) + \frac{2}{3} X_b \frac{B_1^2}{3} (3A_b + B_b) + (Z_1 + R_2) A_1^2 B_b], \quad \delta_{yb} = \frac{A_1 B_1}{G K} (M_{yb} + Y_b B_b - R_2 \frac{B_1}{2}) \\ \delta_{zb} &= \frac{A_1}{Z_1 B_b} [M_{yb} A_1^2 + 2(Z_1 + R_2) \frac{B_1^3}{3} + X_b \frac{B_1^2}{3}], \quad \varphi_{xb} = \frac{A_1}{G K} (M_{yb} + Y_b B_b - R_2 \frac{B_1}{2}) + \frac{1}{Z_1} [M_{yb} \frac{B_1^3}{3} + M_{yb} \frac{A_1^2}{2} \frac{B_1^2}{3} \frac{1}{2} A_1^2 B_b], \\ \varphi_{yb} &= \frac{1}{Z_1} [2M_{yb} (A_b + B_b) + X_b B_b (2A_b + B_b) + (Z_1 + R_2) A_1^2], \quad \varphi_{zb} = \frac{B_1}{G K} M_{yb} + \frac{1}{D_1} \left(\frac{L_1}{2} \right)^2 \left[M_{yb} \frac{B_1^3}{3} (3A_b + B_b) + (M_{yb} R_2 \frac{B_1}{2}) A_1^2 B_b \right] \\ \text{ただし } \delta_{xz} = 0, \quad R_2 &= \frac{\left(\frac{A_1 B_1}{G K} + \frac{A_1^2 B_1}{D_1} \frac{1}{2} \left(\frac{L_1}{2} \right)^2 \right) M_{yb} + \frac{B_1}{D_1} \frac{A_1^2 B_1}{2} \frac{1}{2} \left(\frac{L_1}{2} \right)^2 M_{yb} + \frac{A_1 B_1}{G K} Y_b - \frac{A_1^2 B_1}{D_1} \frac{1}{2} \left(\frac{L_1}{2} \right)^2 (M_{yb} + Y_b B_b)}{\frac{A_1 B_1}{G K} + \frac{A_1^2 B_1}{D_1} \frac{1}{2} \left(\frac{L_1}{2} \right)^2} \end{aligned} \quad (9)$$

以上 x 方向アーチルの δ_{xz} は用諸力との関係が求められた。すなはち(4)式に代入: ハリの釣合条件式と建立してければ、この場合同様理論解が得られる。

参考文献: (a) 小峰: 上下縁アーチル: 腹筋アーチル接合部の弹性直角形(不完全剛節点)を用いての構造力学的研究(昭和36年、土木学会西部支会研究発表会テキスト)。

(b) 小峰: 摘本: 不完全剛節点とアーチル接合部の弹性直角形(不完全剛節点)を用いての構造力学的研究(昭和37年、土木学会第2回学術講演会講演摘要)。

(c) 小峰: 直角アーチル接合部の弹性直角形(不完全剛節点)を用いての構造力学的研究(昭和37年、应用力学学会第2回学術講演会講演摘要)。